

1)

- (13) Joint d'étanchéité à double lèvre ;
- (15) Roulement à billes à contact radial ;
- La liaison entre (3) et (16) est une liaison glissière réalisée par des cannelures ;
- La lubrification des 8 roulements et de l'engrenage est réalisée par barbotage dans un bain d'huile.

..... [1.5]

2) cf FIG. 1.

Ajustements sur l'arbre  $\varnothing 17j6$  et  $\varnothing 30j6$  ou  $k6$ .

Ajustements sur les logements  $\varnothing 47J7$  et  $\varnothing 72J7$  ou  $H7$  ..... [3]

3)

$$\Omega_1 = 2\Omega_2 \quad \mathcal{P} = \mathcal{C}_1\Omega_1 = \mathcal{C}_2\Omega_2 \quad \implies \quad \mathcal{C}_2 = 2\mathcal{C}_1$$

La limite élastique étant  $R_e = 500$  MPa, le coefficient de sécurité étant  $s = 2$  et la concentration de contrainte provenant de la présence d'une clavette  $K_T = 5$ , la contrainte de cisaillement nominale  $\tau_{nom}$  doit être inférieure à :

$$\tau_{nom} < \frac{R_e}{2sK_T} = 25 \text{ MPa}$$

Cette contrainte nominale est pour une section de l'arbre (16) de diamètres intérieur  $d_i$  et extérieur  $d_e$  :

$$\tau_{nom} = \frac{M_T d_e}{I_0} \frac{1}{2} \quad \text{où} \quad I_0 = \frac{\pi}{32}(d_e^4 - d_i^4)$$

Pour l'arbre (16),  $d_i = 6$  et  $d_e = 22$  donc  $M_T$  doit être inférieur à 51.98 N.m.

Cette contrainte nominale est pour une section de l'arbre (17) de diamètre extérieur  $d_e$  :

$$\tau_{nom} = \frac{M_T d_e}{I_0} \frac{1}{2} \quad \text{où} \quad I_0 = \frac{\pi}{32}d_e^4$$

Pour l'arbre (17),  $d_e = 22$  donc  $M_T$  doit être inférieur à 52.27 N.m.

Le trou taraudé n'influence que très faiblement les valeurs du moment de torsion maximum supportable.

Le couple  $\mathcal{C}_2$  étant deux fois plus important que le couple  $\mathcal{C}_1$ , c'est l'arbre (17) qui sera le plus sollicité.

Le couple  $\mathcal{C}_2$  a ne pas dépassé est 52.27 N.m (si  $\mathcal{C}_2 = 52$  N.m, alors  $\mathcal{C}_1 = 26$  N.m  $\ll$  51.98 N.m)

..... [3]

4) La clavette usuelle de forme A sur le diamètre  $d = 22$  possède les cotes :

$$A = B = 6 \quad J = D - 3.5$$

La hauteur de contact entre la clavette et la roue dentée est alors de  $6 - 3.5 = 2.5$ .

La longueur de contact entre la clavette et la roue dentée est  $32 - 6 = 26$ .

La surface de contact entre la clavette et la roue dentée est  $S = 26 * 2.5$ .

La pression de contact entre la clavette et la roue dentée est  $p = \frac{F}{S}$

où  $\mathcal{C}_2 = F \frac{d}{2} = 52.27$  N.m (50 N.m)

soit  $F = 4752$  N (4545 N) et  $p = 73$  MPa (70 MPa).

C'est une pression correcte mais pas insignifiante. .... [2.5]

5) Le diamètre primitif de la roue dentée située sur l'arbre (17) est  $d_2 = 124$ .  
La composante tangentielle de la force est :

$$F_t = \frac{2C_2}{d_2} = 806 \text{ N}$$

et la composante radiale :

$$F_r = F_t \tan(20^\circ) = 294 \text{ N}$$

soit une force sur la denture de 858 N.

On mesure la largeur de denture  $b = 28 \text{ mm}$  et l'on trouve avec la relation fournie dans l'énoncé un module minimum  $m_0 = 1.58 \text{ mm}$ .

| On choisit $m_0 = (\text{mm})$ | donc $\frac{b}{m_0} =$ | $Z_2 = \frac{d_2}{m_0}$ | $Z_1 = \frac{Z_2}{2}$ |
|--------------------------------|------------------------|-------------------------|-----------------------|
| 2                              | 14                     | 62                      | 31                    |
| 2.5                            | 11.2                   | 49.6 → 50               | 25                    |
| 3                              | 9.3                    | 41.3 → 42               | 21                    |
| 4                              | 7                      | 31 → 32                 | 16                    |
| 5                              | 5.6                    | 24.8 → 26               | 13!                   |
| 6                              | 4.6!                   | -                       | -                     |

..... [2.5]

6) Les équations du **P.F.S.** donnent à partir de la FIG. 3 :

$$Y_1 = \frac{40}{68} F_r = 173 \text{ N et } Z_1 = \frac{40}{68} F_t = 474 \text{ N ainsi que } Y_2 = \frac{28}{68} F_r = 121 \text{ N et } Z_2 = \frac{28}{68} F_t = 332 \text{ N}$$

soit les forces radiales sur chaque roulement

$$P_1 = 504 \text{ N} = \frac{40}{68} * 858 \text{ N et } P_2 = 353 \text{ N} = \frac{28}{68} * 858 \text{ N}$$

Les charges statiques de base sont

$$C_{01} = 6550 \text{ N et } C_{02} = 16000 \text{ N}$$

soit des coefficients de sécurité plus qu'acceptable :

$$\frac{C_{01}}{P_1} \approx 13 \quad \text{et} \quad \frac{C_{02}}{P_2} \approx 45$$

Les charges dynamique de base sont

$$C_1 = 13500 \text{ N et } C_2 = 28100 \text{ N}$$

soit des durées de vie :

$$L_{10} = \left(\frac{C_1}{P_1}\right)^3 = 19\,218 \text{ et } \left(\frac{C_2}{P_2}\right)^3 = 504\,423 \text{ millions de tours}$$

..... [2.5]

7) Le rapport de conduite est

$$\frac{AB}{T_1 T_2} = \frac{126}{215} = 0.586$$

Il peut y avoir 1 ou 2 points de contact entre les roues. .... [2.5]

8) On calcule :

$$d_{eq} = d - 0.9382p \approx 6.827 \text{ mm} \quad \text{et} \quad d_2 = d - 0.6495p \approx 7.188 \text{ mm}$$

puis

$$k = \frac{p}{2\pi} + \frac{fd_2}{2 \cos \beta} \approx 0.614 \text{ mm}$$

Les contraintes de traction et cisaillement dans les vis sont :

$$\sigma = \frac{F_0}{\frac{\pi}{4}d_{eq}^2} = \frac{4F_0}{\pi d_{eq}^2} \quad \text{et} \quad \tau = \frac{C_1}{r_{eq}} = \frac{C_1}{\frac{\pi r_{eq}^4}{2r_{eq}}} = \frac{16}{\pi d_{eq}^3} k F_0$$

La contrainte équivalente de Von-Mises est alors :

$$\sigma_{eq} = \sqrt{\sigma^2 + 3\tau^2} = \sqrt{\left(\frac{4}{\pi d_{eq}^2}\right)^2 + 3\left(\frac{16k}{\pi d_{eq}^3}\right)^2} F_0 \approx 0.03218 F_0 \quad \text{avec } \sigma_{eq} \text{ en MPa et } F_0 \text{ en N.}$$

Critère de tenue de la vis :  $\sigma_{eq} \leq S_p$ . Si  $\sigma_{eq} = S_p = 356 \text{ MPa}$ ,  $F_0 = 11061 \text{ N}$ . ..... [2.5]

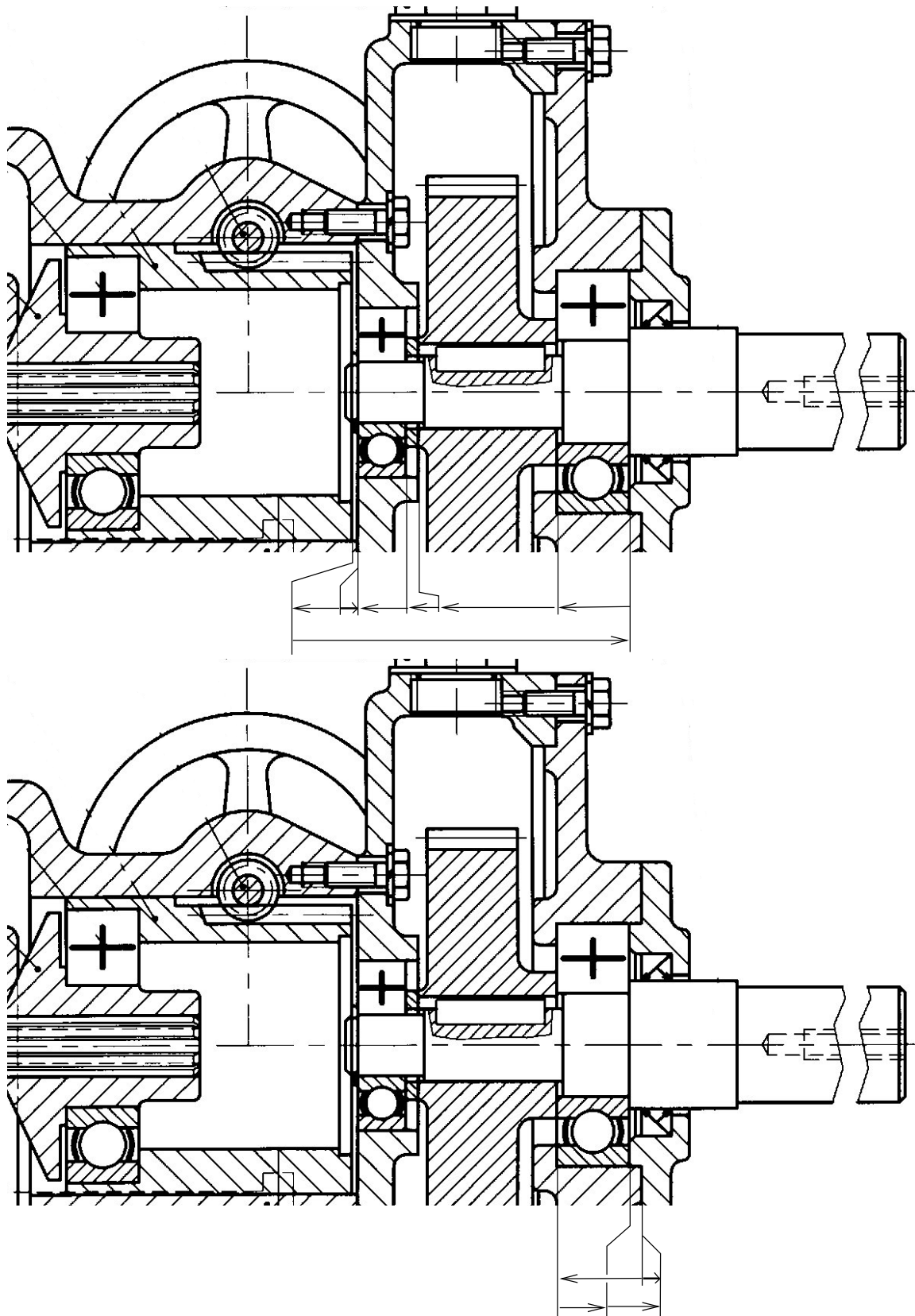


FIG. 1 – Les 2 chaines de cotes.

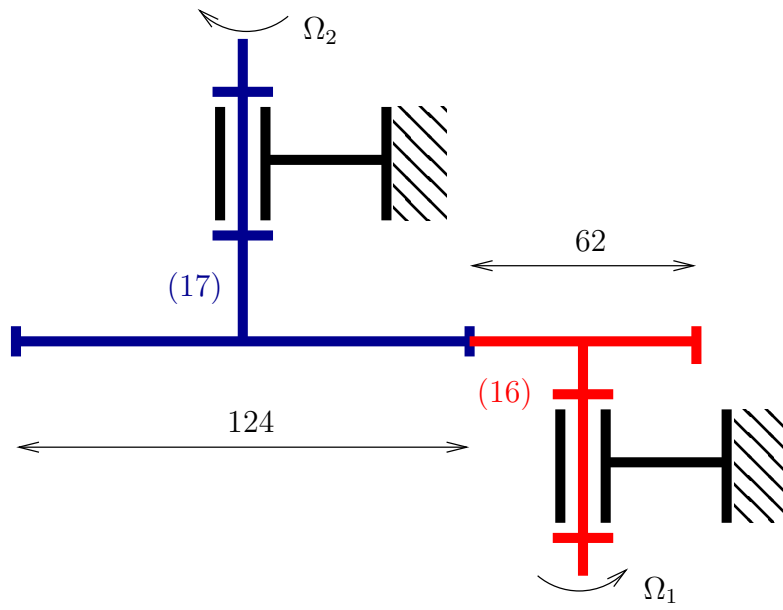


FIG. 2 – Représentation de l'engrenage.

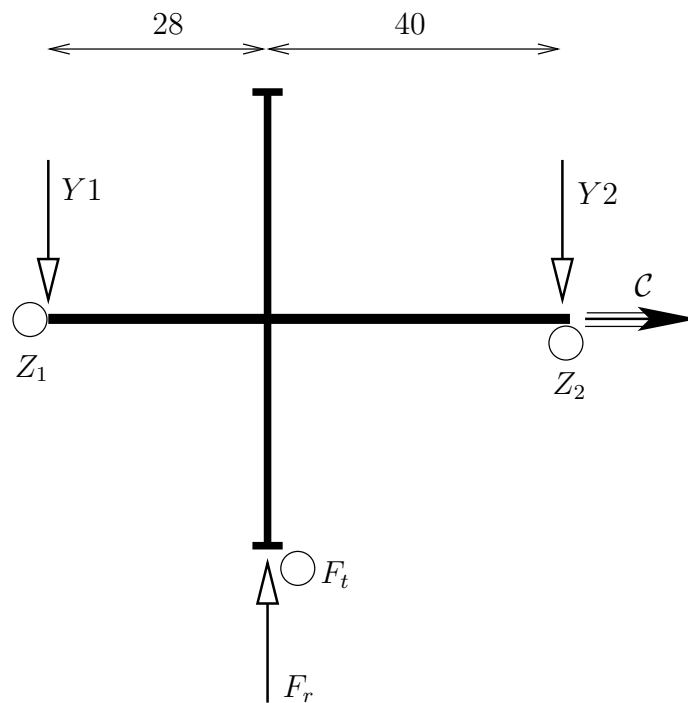


FIG. 3 – Effort sur le montage de roulements de l'arbre (17).

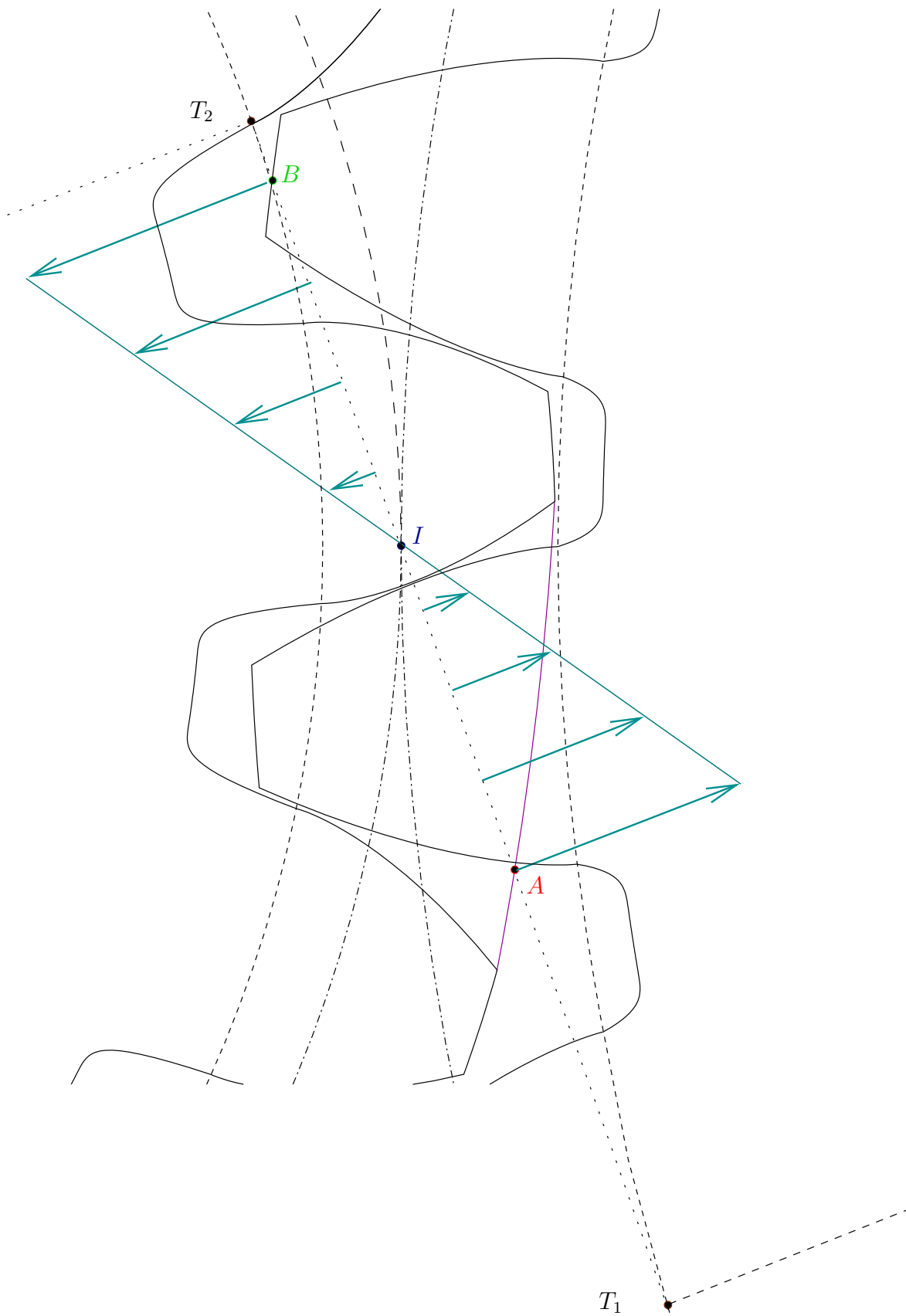


FIG. 4 – Représentation des points de début et fin de contact et de la répartition de vitesse de glissement au cours de l'engrenement.